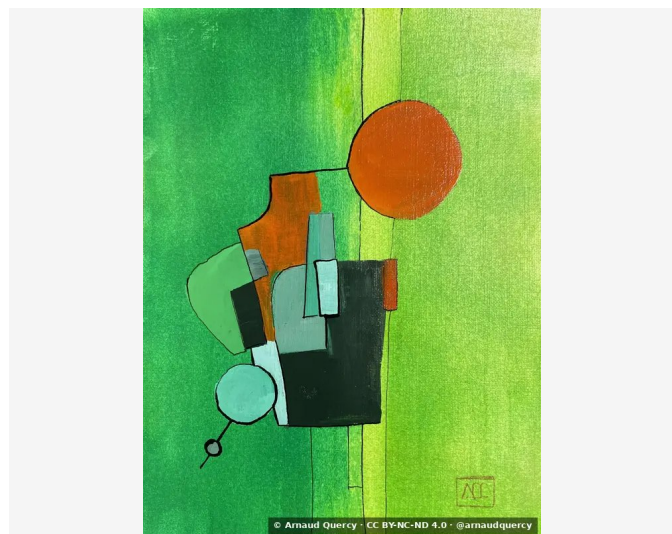


Nanopublication – Analyse Computationnelle d'Image – AQC0615

par Arnaud Quercy · Si Mineur – Recherche sur l'Harmonie · 2024



AFFIRMATION 1: ANALYSE COMPUTATIONNELLE D'IMAGE – AQC0615

Enregistrement d'analyse [3] : Si Mineur [1] – Recherche sur l'Harmonie (AQC0615) [2] par Arnaud Quercy [2]. Méthode : k-means. Paramètres : 10 couleurs. Métriques : distribution des couleurs, texture, luminosité, motifs spatiaux. Effectuée : 2026-02-04.

CONTEXTE

L'analyse effectuée selon MMIDS-CMP-2025 [3] comprend quatre catégories de métriques : (1) Distribution des couleurs via k-means (10 couleurs), (2) Analyse de texture utilisant les caractéristiques de Haralick, (3) Mesures de luminosité et contraste, (4) Caractérisation des motifs spatiaux. Image source [5] : 2632x3510 pixels. Date d'analyse : 2026-02-04.

ANALYSE DES COULEURS

| Rang | Couleur | Hex | % | Famille | Nom |
|------|---------|--------|------|---------------|---------------------|
| 1 | | 33AB53 | 15.6 | yellow-green | mediumseagreen |
| 2 | | 90CD44 | 14.9 | yellow-green | yellowgreen |
| 3 | | 1E9642 | 14.3 | yellow-green | seagreen |
| 4 | | ABDE5C | 12.5 | yellow-green | ochre |
| 5 | | 73BC2A | 9.1 | yellow-green | olivedrab |
| 6 | | 50C167 | 9.0 | yellow-green | limegreen |
| 7 | | B5570E | 7.7 | orange | chocolate |
| 8 | | 1A2D1E | 7.5 | yellow-green | very dark green |
| 9 | | C8F081 | 5.3 | yellow-green | khaki |
| 10 | | 74C2A8 | 4.2 | green | mediumaquamarine |
| 11 | | 837E52 | 0.3 | yellow | dimgray [Accent] |
| 12 | | 5D4D32 | 0.3 | yellow-orange | dark brown [Accent] |

Familles de Couleurs:

| Famille | % |
|---------------|------|
| yellow-green | 88.1 |
| orange | 7.7 |
| green | 4.2 |
| yellow | 0.3 |
| yellow-orange | 0.3 |

Couleurs d'Accent:

| Hex | Famille | Nom | Chroma |
|--------|---------------|------------|--------|
| 837E52 | yellow | dimgray | 25.5 |
| 5D4D32 | yellow-orange | dark brown | 19.2 |

ANALYSE DE TEXTURE

| Métrique | Valeur |
|-------------------------|--------|
| Global Roughness | 0.178 |
| Mean Local Roughness | 0.028 |
| Roughness Uniformity | 0.021 |
| Edge Density | 0.18 |
| Mean Gradient Magnitude | 0.225 |
| Gradient Variance | 0.054 |
| Gradient Smoothness | 0.0 |
| Directional Coherence | 0.021 |
| Pattern Complexity | 0.119 |
| Pattern Repetition | 1.0 |
| Detail Frequency Ratio | 0.631 |
| Spatial Variation | 0.112 |
| Texture Consistency | 0.578 |

ANALYSE DE LUMINOSITÉ ET CONTRASTE

| Métrique | Valeur |
|---------------------------|--------|
| Mean Brightness | 0.552 |
| Brightness Variance | 0.178 |
| Brightness Uniformity | 0.678 |
| Brightness Skewness | -0.52 |
| Brightness Entropy | 7.346 |
| Rms Contrast | 0.178 |
| Michelson Contrast | 1.0 |
| Weber Contrast | 0.523 |
| Mean Local Contrast | 0.03 |
| Contrast Uniformity | 0.305 |
| Dynamic Range | 1.0 |
| Effective Dynamic Range | 0.651 |
| Shadow Percentage | 8.014 |
| Midtone Percentage | 63.165 |
| Highlight Percentage | 28.821 |
| Shadow Clipping | 0.007 |
| Highlight Clipping | 0.0 |
| Tonal Balance | 0.091 |
| Fine Contrast | 0.016 |
| Medium Contrast | 0.037 |
| Coarse Contrast | 0.056 |
| Multiscale Contrast Ratio | 0.284 |
| Edge Contrast | 0.225 |
| Contrast Clustering | 0.422 |

ANALYSE DE DISTRIBUTION SPATIALE

| Métrique | Valeur |
|-----------------------------|--------|
| Spatial Coherence | 0.745 |
| Color Clustering | 0.365 |
| Color Transition Smoothness | 0.458 |
| Transition Uniformity | 0.655 |
| Sharp Transition Ratio | 0.1 |
| Transition Directionality | 0.026 |
| Mean Saturation | 0.668 |
| Saturation Variance | 0.024 |
| Low Saturation Ratio | 0.014 |
| Medium Saturation Ratio | 0.55 |
| High Saturation Ratio | 0.437 |
| Saturation Clustering | 0.998 |
| Hue Concentration | 0.82 |
| Complementary Balance | 0.001 |
| Analogous Dominance | 0.9 |
| Temperature Bias | -0.405 |

Méthodologie

Cette analyse emploie des méthodes computationnelles standardisées pour la caractérisation objective des images. L'extraction des couleurs utilise l'algorithme de regroupement k-means. L'analyse de texture applique l'extraction des caractéristiques de Haralick. Les métriques de luminosité incluent la moyenne, la variance et l'analyse de distribution. Les motifs spatiaux sont caractérisés par des mesures de cohérence et de regroupement. Toutes les méthodes sont déterministes et reproductibles. Analyse effectuée par les systèmes d'imagerie computationnelle de l'Institut Multimodal.

RÉFÉRENCES

- [1] Arnaud Quercy (2024). Si Mineur - Recherche sur l'Harmonie - Catalog raisonné. <https://arnaudquercy.art/en/catalogue-raisonne/AQC0615.html>
- [2] Quercy, A. (2024). B minor - Research on Harmony - Gallery. https://artquamanima.com/fr/oeuvres/2024/01/si-mineur-recherche-sur-lharmonie_6ve.html
- [3] Quercy, A. (2025). Computational Image Analysis Standard - MMIDS-CMP-2025 <https://multimodal.institute/en/publications/2025/11/mmids-cmp-2025-computational-image-analysis-standard-dg1.html>

OÙ VIT CETTE ŒUVRE

ÉLÉMENTS THÉMATIQUES

cartographie chromesthétique accord Si Mineur
 art synesthétique visualisation étude de piano
 formes géométriques acryliques
 théorie des couleurs musicales
 Explorations Synesthétiques relations harmoniques

PROFIL ÉPISTÉMIQUE

Type de revendication computational analysis

Voix third person

Statut épistémique empirical measurement

Méthodologie computational analysis

Certitude high

SOMME DE CONTRÔLE (SHA-256)

57d52b2afdce1db354a753b44b4ba8695d3f3efb39ce8228fdde87835ddfa2ec

Sous licence Creative Commons Attribution 4.0 International (CC BY 4.0)

Artiste Arnaud Quercy
Date 2024
Certificat 20240602-0111
Asset code AQC0615
Identifiant NAN-COL000331
Version 1
Publié le 2026-02-03

© 2026 Multimodal Institute

Publié par Art Quam Anima Publishing New York,
une marque éditoriale de AQA PUBLISHING LLC
c/o Northwest Registered Agent, 418 Broadway Ste N
Albany, NY 12207, USA
+1 917-764-5470

publishing.artquamanima.com

Dernière mise à jour: 2026-06-03

URI persistante: <https://multimodal.institute/fr/nanopubs/2026/02/AQC0615-computational-image-analysis-aqc0615.pdf>